

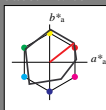
Eingabe: Farbmatisches Offset-Reflektiv-System ORS18

für Buntton $h^* = lab^*h = 38/360 = 0.106$ lab^*ch und lab^*nch

A: Buntton O

LCH*Ma: 48 82 38

olv*Ma: 1.0 0.0 0.0

Dreiecks-Helligkeit t^* 

%Umfang

 $u^*_{rel} = 96$

%Regularität

 $g^*_{H,rel} = -385$ $g^*_{C,rel} = 62$

ORS18; adaptierte CIELAB-Daten

$L^* = L^*_a$	a^*_a	b^*_a	$C^*_{ab,a}$	$h^*_{ab,a}$
OMa 47.94	64.42	50.58	81.9	38
YMa 92.62	2.41	86.36	86.39	88
LMa 50.9	-63.82	35.02	72.81	151
CMa 51.25	-53.68	-57.69	78.82	227
VMa 25.72	30.34	-44.37	53.76	304
MMa 56.25	70.59	7.57	70.99	6
NMa 18.11	0.0	0.0	0.0	0
WMa 95.6	0.0	0.0	0.0	0
RCIE 47.79	60.85	41.08	73.41	34
JCIE 83.82	6.52	66.9	67.22	84
GCIE 49.0	-36.83	2.78	36.95	176
BCIE 25.14	-18.35	-56.22	59.15	252

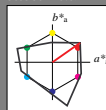
Ausgabe: Farbmatisches Fernseh-Licht-System TLS00

für Buntton $h^* = lab^*h = 35/360 = 0.097$ lab^*ch und lab^*nch

A: Buntton O

LCH*Ma: 66 90 35

olv*Ma: 1.0 0.0 0.0

Dreiecks-Helligkeit t^* 

%Umfang

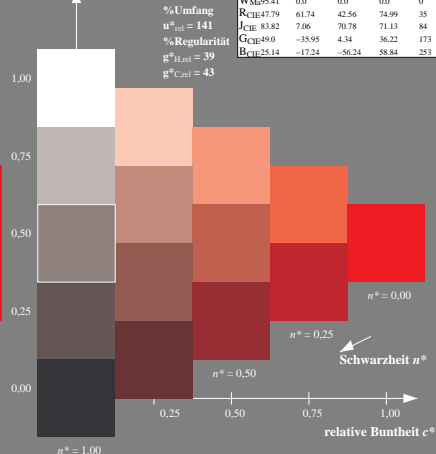
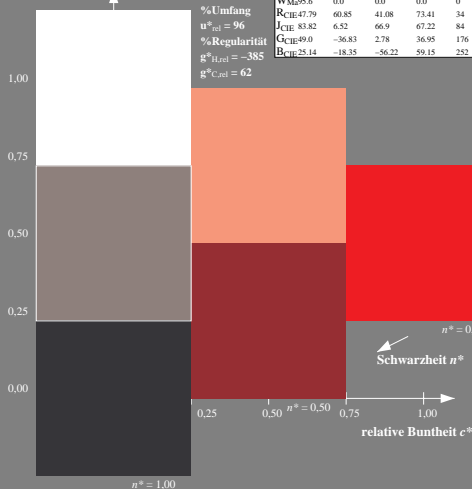
 $u^*_{rel} = 141$

%Regularität

 $g^*_{H,rel} = 39$ $g^*_{C,rel} = 43$

TLS00; adaptierte CIELAB-Daten

$L^* = L^*_a$	a^*_a	b^*_a	$C^*_{ab,a}$	$h^*_{ab,a}$
OMa 65.56	73.34	51.39	89.55	35
YMa 94.78	-3.49	52.24	52.36	94
LMa 77.48	-92.97	36.0	99.71	159
CMa 78.36	-82.69	-22.74	85.77	195
VMa 12.55	38.81	-114.81	121.2	289
MMa 66.71	76.08	-29.8	81.71	339
NMa 0.01	0.0	0.0	0.0	0
WMa 95.41	0.0	0.0	0.0	0
RCIE 47.79	61.74	42.56	74.99	35
JCIE 83.82	7.06	70.78	71.13	84
GCIE 49.0	-35.95	4.34	36.22	173
BCIE 25.14	-17.24	-56.24	58.84	253



SG800-7, 3stufige Reihen für konstanten CIELAB Buntton 38/360 = 0.106 (links)

5stufige Reihen für konstanten CIELAB Buntton 35/360 = 0.097 (rechts)

BAM-Prüfvorlage SG80; Farbmatrik-Systeme ORS18 & TLS00

A: 3 und 5stufige Farbreihen für 10 Bunttöne

input: cmy0* setcmykcolor

output: no change compared to input